

# 最佳平方逼近

黄 猛\*

北京航空航天大学 数学科学学院

假定  $Y$  是赋范线性空间  $X$  的一个线性子空间, 对任给的  $x \in X$ , 我们试图寻找  $y^* \in Y$  使得  $y^*$  是  $Y$  中对  $x$  的最佳逼近。数学上, 我们可以将问题描述为: 对于给定的  $x \in X$  以及空间  $X$  上的范数  $p$ , 寻找  $y^* \in Y$  使得

$$\|y^* - x\|_p = \inf_{y \in Y} \|y - x\|_p.$$

我们称  $y^*$  为最佳逼近元,  $Y$  为逼近子空间, 且

$$\Delta(x, Y) = \inf_{y \in Y} \|y - x\|_p$$

为空间  $Y$  对  $x$  的最佳逼近.

对空间  $X$  选取不同的范数将导致不同的逼近结果, 我们通常考虑如下三种范数:  $L_\infty, L_1$  以及  $L_2$ . 当选取  $p = L_\infty$  范数时, 该问题为最佳一致逼近问题; 当选取  $p = L_2$  范数时, 该问题为最佳平方逼近问题.

## 1 最佳平方逼近

定义 1. 设  $X$  是数域  $\mathbb{F}$  ( $\mathbb{R}$  或  $\mathbb{C}$ ) 上的线性空间, 若二元函数  $\langle \cdot, \cdot \rangle: X \times X \rightarrow \mathbb{F}$  满足条件:

- (1)  $\langle x, y \rangle = \overline{\langle y, x \rangle}, \quad \forall x, y \in X$
- (2)  $\langle \alpha x, y \rangle = \alpha \langle x, y \rangle, \quad \forall \alpha \in \mathbb{F}, x, y \in X$
- (3)  $\langle x + y, z \rangle = \langle x, z \rangle + \langle y, z \rangle, \quad \forall x, y, z \in X$
- (4)  $\langle x, x \rangle \geq 0, \quad \forall x \in X, \text{ 当且仅当 } x = 0 \text{ 时, } \langle x, x \rangle = 0,$

---

\*电子邮件: menghuang@buaa.edu.cn

则称  $X$  为内积空间, 且  $\langle \cdot, \cdot \rangle$  为  $X$  上的内积。

给定内积空间  $X$ , 称函数  $\|x\|_2 = \sqrt{\langle x, x \rangle}$  为内积空间诱导的范数。由此引出内积空间中的最佳逼近问题: 假设  $Y$  是内积空间  $X$  的一个线性子空间, 给定  $f \in X$ , 寻找  $y^* \in Y$  使得

$$\|y^* - f\|_2 = \inf_{y \in Y} \|y - f\|_2.$$

一个自然的问题是, 最佳逼近元  $y^*$  是否存在? 如果存在, 是否唯一? 下面的定理给出了  $y^*$  的一个刻画。

**定理 1.1.** 假设  $Y$  是内积空间  $X$  的一个线性子空间,  $f \in X$ , 那么  $y^* \in Y$  是  $f$  的一个最佳逼近元当且仅当

$$\langle f - y^*, y \rangle = 0, \quad \forall y \in Y.$$

*Proof.* 先证充分性: 如果  $\langle f - y^*, y \rangle = 0, \forall y \in Y$ , 那么对任意的  $y \in Y$ , 均有

$$\begin{aligned} \|y - f\|_2^2 &= \|y^* - f + y - y^*\|_2^2 = \|y^* - f\|_2^2 + 2\langle y^* - f, y - y^* \rangle + \|y - y^*\|_2^2 \\ &= \|y^* - f\|_2^2 + \|y - y^*\|_2^2 \\ &\geq \|y^* - f\|_2^2. \end{aligned}$$

因而,  $y^*$  是  $f$  的一个最佳逼近元。

必要性: 假设存在  $y \in Y$  使得  $\langle f - y^*, y \rangle \neq 0$ . 不妨设  $\langle f - y^*, y \rangle > 0$ . 那么

$$\|f - y^* - ty\|_2^2 = \|f - y^*\|_2^2 - 2t\langle f - y^*, y \rangle + t^2\|y\|_2^2.$$

我们可以选择充分小的  $t > 0$ , 使得

$$-2t\langle f - y^*, y \rangle + t^2\|y\|_2^2 < 0,$$

则有

$$\|f - (y^* + ty)\|_2 < \|f - y^*\|_2.$$

这与  $y^*$  是  $f$  的最佳逼近元矛盾, 因而  $\langle f - y^*, y \rangle = 0, \forall y \in Y$ . □

定理 1.1 告诉我们,  $f$  在线性子空间  $Y$  上的最佳逼近元就是  $f$  在  $Y$  上的正交投影. 关于闭凸集上的投影, 我们有如下刻画:

**定理 1.2 (闭凸集上的投影).** 设  $X$  是 Hilbert 空间,  $K \subset X$  是非空闭凸集, 则对任意  $f \in X$ , 存在唯一的  $y^* \in K$  使得

$$\|f - y^*\|_2 = \inf_{y \in K} \|f - y\|_2.$$

*Proof.* 练习. □

上述定理说明, 只要线性子空间  $Y$  是闭的, 那么相应的最佳逼近问题存在且唯一.

### 1.1 有限维空间的最佳平方逼近

引理 1. 假设  $Y$  是内积空间  $X$  的一个有限维线性子空间, 则  $Y$  是闭的.

上述引理告诉我们, 有限维空间中的最佳平方逼近问题始终是存在且唯一的. 接下来, 我们介绍如何计算最佳逼近. 假设内积空间  $Y$  的一组基为  $\phi_1, \dots, \phi_n$ , 即

$$Y = \text{span} \{ \phi_1, \dots, \phi_n \}.$$

对于给定的  $f \in X$ , 我们试图寻找  $y^* \in Y$  使得

$$\|y^* - f\|_2 = \inf_{y \in Y} \|y - f\|_2.$$

定理 1.1 告诉我们, 这样的  $y^*$  必然满足条件  $\langle f - y^*, y \rangle = 0, \forall y \in Y$ . 也就是说,  $f - y^* \perp Y$ . 由于  $y^* \in Y$ , 不妨设

$$y^* = \alpha_1 \phi_1 + \alpha_2 \phi_2 + \dots + \alpha_n \phi_n.$$

由正交条件  $\langle f - y^*, \phi_k \rangle = 0, k = 1, \dots, n$  可得

$$\langle f, \phi_k \rangle = \sum_{j=1}^n \alpha_j \langle \phi_j, \phi_k \rangle, \quad k = 1, \dots, n.$$

改写成矩阵形式为

$$G\alpha = f_Y,$$

其中

$$G = \begin{bmatrix} \langle \phi_1, \phi_1 \rangle & \cdots & \langle \phi_1, \phi_n \rangle \\ \langle \phi_2, \phi_1 \rangle & \cdots & \langle \phi_2, \phi_n \rangle \\ \cdots & \cdots & \cdots \\ \langle \phi_n, \phi_1 \rangle & \cdots & \langle \phi_n, \phi_n \rangle \end{bmatrix}, \quad \alpha = \begin{bmatrix} \alpha_1 \\ \alpha_2 \\ \cdots \\ \alpha_n \end{bmatrix}, \quad f_Y = \begin{bmatrix} \langle f, \phi_1 \rangle \\ \langle f, \phi_2 \rangle \\ \cdots \\ \langle f, \phi_n \rangle \end{bmatrix}.$$

我们称  $G$  为 Gram 矩阵, 相应的行列式为 Gram 行列式. 如果矩阵  $G$  可逆, 则最佳逼近元  $y^*$  的系数向量  $\alpha = G^{-1}f_Y$ . 事实上, 由于  $\phi_1, \dots, \phi_n$  为空间  $Y$  的一组基, 如下定理告诉我们, 其对应的 Gram 矩阵始终可逆.

定理 1.3. 假设  $X$  是内积空间, 则  $\phi_1, \dots, \phi_n \in X$  线性相关当且仅当相应的 Gram 行列式为零.

假设我们得到了  $f \in X$  在线性子空间  $Y$  上的最佳逼近元  $y^* = \sum_{i=1}^n \alpha_i^* \phi_i$ , 则最佳平方逼近误差为:

$$\Delta^2(f, Y) := \|f - y^*\|_2^2 = \langle f - y^*, f - y^* \rangle = \langle f - y^*, f \rangle = \|f\|_2^2 - \sum_{i=1}^n \alpha_i^* \langle \phi_i, f \rangle.$$

几何上, 令  $\Delta = f - y^*$ , 则

$$\langle f, f \rangle = \langle \Delta + y^*, \Delta + y^* \rangle = \langle \Delta, \Delta \rangle + \langle y^*, y^* \rangle.$$

作业: 求  $x^3$  在区间  $[0, 1]$  上的二次最佳平方逼近多项式.

## 1.2 $L_\rho^2[a, b]$ 中的最佳平方逼近

我们首先引入权函数的概念。

**定义 2.** 假设  $\rho(x)$  是一个在区间  $[a, b]$  上 Lebesgue 可积的非负函数, 它至多在一个零测集上可能为零, 则我们称  $\rho$  为一个权函数.

对于任意一个定义在区间  $[a, b]$  上的可测函数  $f$ , 如果  $\rho \cdot f$  是 Lebesgue 可积的, 则说  $f$  属于  $L_\rho[a, b]$  类; 如果  $\rho \cdot f^2$  是 Lebesgue 可积的, 则说  $f$  属于  $L_\rho^2[a, b]$  类.  $L_\rho^2[a, b]$  按如下定义的内积构成一内积空间:

$$\langle f, g \rangle = \int_a^b \rho(x) f(x) g(x) dx, \quad f, g \in L_\rho^2[a, b].$$

该内积空间的范数为:

$$\|f\|_2 = \sqrt{\int_a^b \rho(x) f^2(x) dx}.$$

那么, 在空间  $L_\rho^2[a, b]$  上, 我们可以考虑相应的最佳逼近问题: 假设

$$Y = \text{span} \{ \phi_1, \dots, \phi_n \},$$

其中  $\phi_1, \dots, \phi_n \in L_\rho^2[a, b]$  线性无关. 所谓  $L_\rho^2[a, b]$  最佳逼近就是对任意的函数  $f \in L_\rho^2[a, b]$  寻找一函数  $y^* \in Y$  使得  $\|f - y^*\|_2$  达到最小. 利用上一小节关于内积空间上最佳平方逼近的一般理论, 可以得到  $L_\rho^2[a, b]$  上最佳逼近的存在唯一性、误差估计以及解的构造方法.

为了求解过程的数值稳定性, 我们考虑由一组正交基生成的子空间. 设  $\rho(x)$  为定义在区间  $[a, b]$  上的权函数, 如果函数  $f, g \in L_\rho^2[a, b]$  满足条件:

$$\langle f, g \rangle = \int_a^b \rho(x) f(x) g(x) dx = 0,$$

则称  $f$  和  $g$  在  $[a, b]$  上关于权函数  $\rho(x)$  正交. 如果函数系统

$$\phi_1, \phi_2, \dots$$

中的每一对函数在区间  $[a, b]$  上关于权函数  $\rho(x)$  正交, 则称该系统为  $[a, b]$  上关于权函数  $\rho(x)$  的正交函数系. 进一步, 若每一个函数  $\|\phi_k\|_2 = 1, k = 1, 2, \dots$ , 则称该系统为规范正交系.

对于最佳平方逼近问题, 如果  $\phi_1, \dots, \phi_n$  满足正交条件, 则最佳逼近元的系数为:

$$\alpha_k = \frac{\langle f, \phi_k \rangle}{\langle \phi_k, \phi_k \rangle}, \quad k = 1, \dots, n,$$

最佳平方逼近为:

$$y^*(x) = \sum_{k=1}^n \alpha_k \phi_k(x) = \sum_{k=1}^n \frac{\langle f, \phi_k \rangle}{\langle \phi_k, \phi_k \rangle} \phi_k(x).$$

误差估计为:

$$\Delta^2(f, Y) = \|f\|_2^2 - \sum_{k=1}^n \frac{|\langle f, \phi_k \rangle|^2}{\|\phi_k\|_2^2}.$$

下面我们介绍广义 Fourier 级数展开的问题: 假设  $\phi_1, \phi_2, \dots$  是一组正交系统, 取

$$\alpha_k = \frac{\langle f, \phi_k \rangle}{\langle \phi_k, \phi_k \rangle} = \frac{\int_a^b \rho(x) f(x) \phi_k(x) dx}{\int_a^b \rho(x) \phi_k^2(x) dx}, \quad k = 1, 2, \dots$$

则称级数

$$f(x) \sim \sum_{k=1}^{\infty} \alpha_k \phi_k$$

为  $f$  的广义 Fourier 级数展开.

**定理 1.4.** 假设  $\{\phi_1, \phi_2, \dots\}$  是一组正交系统, 子空间  $Y = \text{span}\{\phi_1, \dots, \phi_n\}$ , 则对任意给定的函数  $f \in L^2_\rho[a, b]$ , 其在子空间  $Y$  上的最佳平方逼近就是  $f$  广义 Fourier 级数展开的部分和  $S_n(x) := \sum_{k=1}^n \alpha_k \phi_k$ .

由于逼近误差  $\Delta^2(f, Y) \geq 0$ , 因此, 我们有

$$\sum_{k=1}^n \frac{|\langle f, \phi_k \rangle|^2}{\|\phi_k\|_2^2} \leq \|f\|_2^2.$$

令  $n \rightarrow \infty$  有

$$\sum_{k=1}^{\infty} \frac{|\langle f, \phi_k \rangle|^2}{\|\phi_k\|_2^2} \leq \|f\|_2^2,$$

这就是 Bessel 不等式. 根据逼近误差的估计可知, 上述 Bessel 不等式能改成 Parseval 等式

$$\sum_{k=1}^{\infty} \frac{|\langle f, \phi_k \rangle|^2}{\|\phi_k\|_2^2} = \|f\|_2^2$$

的充要条件是

$$\lim_{n \rightarrow \infty} \|S_n - f\|_2 = 0.$$

为了给出广义 Fourier 级数收敛的等价条件, 我们引入如下定义: 若一个正交函数系  $\{\phi_k\}_{k=1}^{\infty}$  对于  $L^2_\rho[a, b]$  中的每一个函数 Parseval 等式成立, 则称它是封闭的正交函数系. 给定一个正交函数系  $\{\phi_k\}_{k=1}^{\infty}$ , 如果  $L^2_\rho[a, b]$  中再没有一个函数与一切  $\phi_k$  正交, 那么称它为完备的正交函数系.

正交系的完备性与封闭性等价. 一般地, 我们有如下结论:

**定理 1.5.** 假设  $\{\phi_k\}_{k=1}^{\infty}$  是  $L^2_\rho[a, b]$  中一正交函数系, 则下列论断彼此等价:

- (1)  $\{\phi_k\}_{k=1}^{\infty}$  是完备正交系
- (2)  $\{\phi_k\}_{k=1}^{\infty}$  是封闭正交系
- (3) Parseval 等式对每个  $f \in L^2_\rho[a, b]$  成立
- (4)  $L^2_\rho[a, b]$  中每个函数  $f$  的 Fourier 级数都平均收敛
- (5) 不存在与正交系  $\{\phi_k\}_{k=1}^{\infty}$  中所有元素均正交的非零元
- (6)  $\text{span}\{\phi_k\}_{k=1}^{\infty}$  在  $L^2_\rho[a, b]$  中处处稠密
- (7) 当两个函数有相同的 Fourier 级数时, 它们必定几乎处处相等

例如, 三角函数系  $\{1, \cos x, \sin x, \cos 2x, \sin 2x, \dots\}$  是  $L^2_{[0, 2\pi]}$  上的一个完备正交系. 另外, 任何一组线性无关系都可以通过 Schmidt 标准正交化过程得到一个规范正交系.

作业: 确定函数  $e^x \in L^2_{[0, 1]}$  在子空间  $Y = \text{span}\{1, x\}$  上的最佳平方逼近.

## 2 $L^2_\rho[a, b]$ 上的正交多项式

将幂函数系  $\{1, x, x^2, \dots\}$  通过 Schmidt 正交化过程就可以得到空间  $L^2_\rho[a, b]$  的一组正交多项式  $\{\omega_0, \omega_1, \dots\}$ . 自然, 根据权函数  $\rho(x)$  以及区间的不同选择, 我们可以得到不同的正交多项式. 在介绍一些常用的正交多项式之前, 我们先看看正交多项式具有哪些很好的性质.

### 2.1 正交多项式的性质

在  $L^2_\rho[a, b]$  空间中, 由幂函数系经正交化得到的正交多项式系有下列性质:

(1)  $\omega_n(x)$  是  $n$  次代数多项式;

(2) 任何不高于  $n$  次的多项式  $p_n(x) \in \text{span} \{\omega_0, \dots, \omega_n\}$ ;

(3)  $\omega_n(x)$  在  $L^2_\rho[a, b]$  中与所有次数不超过  $n-1$  次的多项式正交.

(4) 具有三项递推关系。具体来说, 假设  $\{\omega_k(x)\}_{k=0}^\infty$  为区间  $[a, b]$  上首项系数均为 1 的正交多项式, 则

$$\omega_{k+1}(x) = (x - \beta_k)\omega_k(x) - r_k\omega_{k-1}(x), \quad k = 1, 2, \dots$$

其中,

$$\beta_k = \frac{\langle x\omega_k, \omega_k \rangle}{\langle \omega_k, \omega_k \rangle}, \quad r_k = \frac{\langle \omega_k, \omega_k \rangle}{\langle \omega_{k-1}, \omega_{k-1} \rangle}.$$

(5)  $\omega_n(x)$  在区间  $(a, b)$  上有  $n$  个互异实根.

## 2.2 常用的正交多项式

### 2.2.1 Legendre 多项式

当区间为  $[-1, 1]$ , 权函数  $\rho(x) \equiv 1$  时, 由幂函数系  $\{1, x, x^2, \dots\}$  正交化得到的多项式称为 Legendre 多项式, 其简单表达形式为:

$$P_n(x) = \frac{1}{2^n n!} \left( \frac{d}{dx} \right)^n (x^2 - 1)^n, \quad n = 1, 2, \dots$$

$P_n(x)$  首项系数为:

$$\frac{2n(2n-1)\cdots(n+1)}{2^n n!} = \frac{2n!}{2^n (n!)^2}.$$

三项递推关系为:

$$P_0(x) = 1, \quad P_1(x) = x, \quad P_{k+1}(x) = \frac{2k+1}{k+1}xP_k(x) - \frac{k}{k+1}P_{k-1}(x), \quad k = 1, 2, \dots$$

正交性:

$$\int_{-1}^1 P_n(x)P_m(x)dx = \begin{cases} 0, & m \neq n \\ \frac{2}{2n+1}, & m = n \end{cases}$$

### 2.2.2 第一类 Chebyshev 多项式

区间为  $[-1, 1]$ , 权函数  $\rho(x) = \frac{1}{\sqrt{1-x^2}}$ , 表达形式为:

$$T_n(x) = \cos(n \arccos x).$$

递推关系:

$$T_0(x) = 1, \quad T_1(x) = x, \quad T_{n+1}(x) = 2xT_n(x) - T_{n-1}(x)$$

$T_n(x)$  首项系数为  $2^{n-1}$ , 且在点列  $x_k = \cos(\frac{k\pi}{n}), k = 0, \dots, n$  上正负交错达到最大值 1.

正交性:

$$\int_{-1}^1 \frac{T_n(x)T_m(x)}{\sqrt{1-x^2}} dx = \begin{cases} 0, & m \neq n \\ \frac{\pi}{2}, & m = n \neq 0 \\ \pi, & m = n = 0 \end{cases}$$

### 2.2.3 第二类 Chebyshev 多项式

区间为  $[-1, 1]$ , 权函数  $\rho(x) = \sqrt{1-x^2}$ , 表达形式为:

$$U_n(x) = \frac{\sin((n+1)\arccos x)}{\sqrt{1-x^2}}$$

递推关系:

$$U_0(x) = 1, \quad U_1(x) = 2x, \quad U_{n+1}(x) = 2xU_n(x) - U_{n-1}(x).$$

正交性:

$$\int_{-1}^1 \sqrt{1-x^2} U_n(x) U_m(x) dx = \begin{cases} 0, & m \neq n \\ \frac{\pi}{2}, & m = n \end{cases}$$

作业: 证明上述正交性.

### 2.2.4 Laguerre 多项式

在区间为  $[0, +\infty)$  关于权函数  $\rho(x) = e^{-x}$  正交, 表达形式为:

$$L_n(x) = e^x \left( \frac{d}{dx} \right)^n (x^n e^{-x}), \quad n = 1, 2, \dots$$

递推关系:

$$L_0(x) = 1, \quad L_1(x) = 1 - x, \quad L_{n+1}(x) = (1 + 2n - x)L_n(x) - n^2 L_{n-1}(x).$$

正交性:

$$\int_0^\infty e^{-x} L_n(x) L_m(x) dx = \begin{cases} 0, & m \neq n \\ (n!)^2, & m = n \end{cases}$$

### 2.2.5 Hermite 多项式

在区间为  $(-\infty, +\infty)$  关于权函数  $\rho(x) = e^{-x^2}$  正交, 表达形式为:

$$H_n(x) = (-1)^n e^{x^2} \left( \frac{d}{dx} \right)^n (e^{-x^2}), \quad n = 1, 2, \dots$$

递推关系:

$$H_0(x) = 1, \quad H_1(x) = 2x, \quad H_{n+1}(x) = 2xH_n(x) - 2nH_{n-1}(x).$$



正交性:

$$\int_{-\infty}^{\infty} e^{-x^2} H_n(x) H_m(x) dx = \begin{cases} 0, & m \neq n \\ 2^n n! \sqrt{\pi}, & m = n \end{cases}$$

### 3 最小二乘

给定一组数据  $\{(x_i, y_i)\}_{i=1}^n$ , 欲在函数空间  $\Phi_m = \text{span}\{\phi_1, \dots, \phi_m\}$  ( $m < n$ ) 中寻找一函数  $\phi(x) = \sum_{k=1}^m c_k \phi_k(x)$ , 使得

$$\sum_{i=1}^n (y_i - \phi(x_i))^2$$

达到最小. 上述问题可以写成矩阵的形式:

$$\min_{c \in \mathbb{R}^m} \|Ac - y\|_2^2,$$

其中

$$A = \begin{bmatrix} \phi_1(x_1) & \phi_2(x_1) & \cdots & \phi_m(x_1) \\ \phi_1(x_2) & \phi_2(x_2) & \cdots & \phi_m(x_2) \\ \cdots & \cdots & \cdots & \cdots \\ \phi_1(x_n) & \phi_2(x_n) & \cdots & \phi_m(x_n) \end{bmatrix}, \quad c = \begin{bmatrix} c_1 \\ c_2 \\ \cdots \\ c_m \end{bmatrix}, \quad y = \begin{bmatrix} y_1 \\ y_2 \\ \cdots \\ y_n \end{bmatrix}.$$

由无约束优化问题的最优性条件可知, 上述问题的解满足条件:

$$A^T A c = A^T y. \tag{1}$$

上述方程组 (1) 称为最小二乘问题的法方程组.

从几何的角度, 最小二乘问题可以看成是向量  $y \in \mathbb{R}^n$  在矩阵  $A$  的列空间的正交投影. 换句话说, 就是寻找向量  $y \in \mathbb{R}^n$  在矩阵  $A$  的列空间的最佳平方逼近. 因此, 也可以从最佳平方逼近的角度去计算最小二乘.

作业: 给定一组数据

|     |     |     |    |    |    |    |    |     |     |
|-----|-----|-----|----|----|----|----|----|-----|-----|
| $x$ | 1   | 2   | 3  | 4  | 5  | 6  | 7  | 8   | 9   |
| $y$ | 201 | 159 | 61 | 77 | 40 | 17 | 25 | 103 | 156 |

选择基函数  $1, x, x^2$ , 基于最小二乘建立  $y$  与  $x$  的关系.

# 数值积分

黄 猛\*

北京航空航天大学 数学科学学院

May 22, 2023

## 1 简介

数值积分是一种通过近似方法求解定积分的技术。在许多实际问题中，解析方法可能难以应用或无法解析地求出积分。考虑积分

$$\int_a^b f(x) dx,$$

若找到  $f(x)$  的原函数  $F(x)$ , 则 Newton-Leibniz 公式:

$$\int_a^b f(x) dx = F(b) - F(a).$$

(1) 实际中有些被积函数的原函数不能用初等函数表示, 如

$$f(x) = \frac{\sin x}{x}, e^{x^2}, \dots$$

(2) 即使能求原函数, 有时计算困难, 如  $f(x) = \frac{1}{1+x^6}$ .

(3)  $f(x)$  表达式未知, 只有观测或数值计算给出的数据表.

在这些情况下, 数值积分成为了一种重要的替代方法。

我们先从直观上感受一下数值积分。由于定积分表示被积函数下方的面积, 因此一个简单的近似方法为: 将区间  $[a, b]$  划分为  $n$  个等距子区间, 每个子区间的宽度为  $h = \frac{b-a}{n}$ 。

---

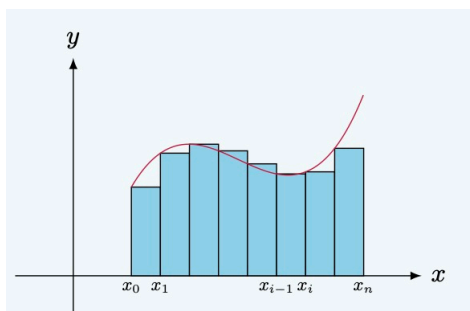
\*电子邮件: menghuang@buaa.edu.cn

然后在每个子区间上用一个矩形或梯形近似曲线下的面积。由此，我们可以得到如下积分公式：

(1) 左矩形法：取每个子区间的左端点的函数值作为高度

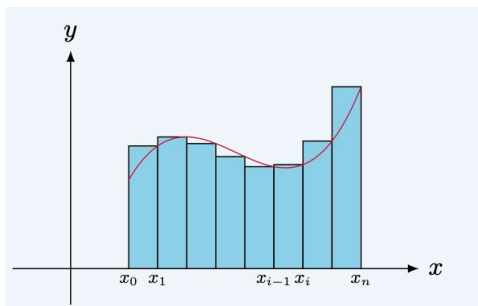
$$\int_a^b f(x) dx \approx \frac{b-a}{n} (f(x_0) + f(x_1) + \cdots + f(x_{n-1})),$$

其中  $x_k = a + kh, k = 0, 1, \dots, n$ .



(2) 右矩形法：取每个子区间的右端点的函数值作为高度

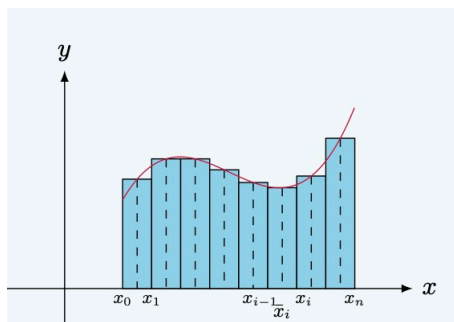
$$\int_a^b f(x) dx \approx \frac{b-a}{n} (f(x_1) + f(x_2) + \cdots + f(x_n)).$$



(3) 中点矩形法：取每个子区间的中点的函数值作为高度

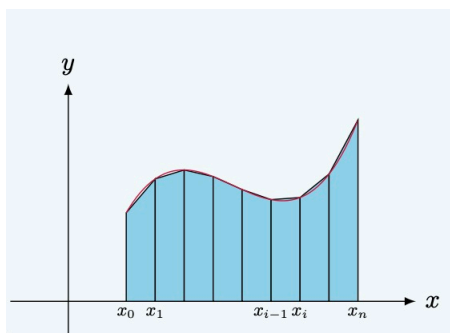
$$\int_a^b f(x) dx \approx \frac{b-a}{n} (f(x_1^*) + f(x_2^*) + \cdots + f(x_n^*)),$$

其中  $x_i^*$  为每个区间的中点.



(4) 梯形法：在每个子区间上用一个梯形近似曲线下的面积

$$\int_a^b f(x) dx \approx \frac{b-a}{2n} (f(x_0) + 2f(x_1) + 2f(x_2) + \cdots + 2f(x_{n-1}) + f(x_n)).$$



直观上，我们得到了一些数值积分公式。到目前为止，我们还并不知道这些积分公式对定积分近似程度的好坏。接下来，我们将从代数的角度提出更多的数值积分公式，并给出误差分析。

## 2 基本概念

数值积分是通过对给定函数  $f(x)$  在区间  $[a, b]$  上进行离散化来近似计算定积分的方法。考虑带权积分，典型的求积公式具有如下形式：

$$I(f) := \int_a^b \rho(x) f(x) dx \approx \sum_{k=0}^n A_k f(x_k) := I_{n+1}(f), \quad (1)$$

其中  $x_k$  是求积公式的节点， $A_k$  是求积系数，其值与被积函数无关。

为了刻画求积公式的好坏，我们引入代数精度的概念。

**定义 1.** 如果某个求积公式对于次数不超过  $m$  的多项式均能精确地成立，但对于  $m+1$  次多项式就不精确成立，则称该求积公式具有  $m$  次代数精度。

为了验证求积公式的代数精度，我们只需对多项式的一组基进行验证就可以了。具体来说，

- (1) 把  $f(x) = 1, x, \dots, x^m$  都代入求积公式，均精确成立；
- (2) 把  $f(x) = x^{m+1}$  代入，求积公式不精确成立；

例如：左矩形公式和右矩形公式的代数精度为 0 次；中点矩形公式和梯形公式的代数精度为 1 次。

定义 2. 如果求积公式  $\int_a^b \rho(x)f(x) dx \approx \sum_{k=0}^n A_k f(x_k)$  满足

$$\lim_{h \rightarrow 0} \sum_{k=0}^n A_k f(x_k) = \int_a^b \rho(x)f(x) dx,$$

则称该求积公式是收敛的, 其中  $h = \max_{1 \leq i \leq n} \Delta x_i$ .

定义 3. 对任意的  $\epsilon > 0$ , 若  $\exists \delta > 0$ , 只要  $|f(x_k) - \tilde{f}(x_k)| \leq \delta, k = 0, 1, \dots, n$  就有

$$\left| I_n(f) - I_n(\tilde{f}) \right| = \left| \sum_{k=0}^n A_k f(x_k) - \sum_{k=0}^n A_k \tilde{f}(x_k) \right| \leq \epsilon,$$

则称该求积公式是稳定的.

### 3 插值型公式的构造

接下来, 我们介绍求积公式的构造. 其基本思想是在区间  $[a, b]$  上找一个充分靠近  $f(x)$  的简单函数  $p(x)$ , 且关于  $p(x)$  的定积分容易计算. 事实上, 如果

$$\|f - p\|_\infty = \max_{x \in [a, b]} |f(x) - p(x)| \leq \epsilon,$$

那么逼近误差满足

$$\left| \int_a^b \rho(x)f(x) dx - \int_a^b \rho(x)p(x) dx \right| \leq \epsilon \int_a^b \rho(x) dx.$$

由于多项式是最简单的函数类, 构造求积公式的一个最基本的思想就是利用 Lagrange 插值多项式代替  $f(x)$ , 得到的求积公式就是插值型求积公式. 给定  $n + 1$  个求积节点  $x_0 < x_1 < \dots < x_n$ , 构造  $f(x)$  的  $n$  次插值多项式

$$p_n(x) = \sum_{k=0}^n l_k(x)f(x_k),$$

其中  $l_k(x)$  是  $x_k$  处的插值基函数. 用

$$\int_a^b \rho(x)p_n(x) dx$$

作为

$$\int_a^b \rho(x)f(x) dx$$

的近似值, 就得到了插值型求积公式:

$$I(f) := \int_a^b \rho(x)f(x) dx \approx \sum_{k=0}^n A_k f(x_k) := I_{n+1}(f), \quad (2)$$

其中，求积系数

$$A_k = \int_a^b \rho(x) l_k(x) dx, \quad k = 0, \dots, n.$$

求积公式的误差为：

$$E_{n+1}(f) := I(f) - I_{n+1}(f) = \int_a^b \rho(x) (f(x) - p_n(x)) dx = \int_a^b \rho(x) R_n(x) dx, \quad (3)$$

其中  $R_n(x)$  为 Lagrange 插值余项：

$$R_n(x) = \frac{f^{n+1}(\xi)}{(n+1)!} \omega_{n+1}(x), \quad \omega_{n+1}(x) = (x - x_0) \cdots (x - x_n).$$

由 Lagrange 插值余项可知，上述插值型求积公式具有至少  $n$  次代数精度。

### 3.1 Newton-Cotes 公式

在插值型求积公式 (2) 中取权函数  $\rho(x) \equiv 1$  且求积节点为等距形式，就导出了所谓的 Newton-Cotes 公式。具体来说，将区间  $[a, b]$  进行  $n$  等分，得到求积节点为：

$$x_k = a + kh, \quad h = \frac{b-a}{n}, \quad k = 0, 1, \dots, n.$$

这时候的求积系数

$$\begin{aligned} A_k &= \int_a^b l_k(x) dx = \int_a^b \prod_{i=0, i \neq k}^n \frac{x - x_i}{x_k - x_i} dx \\ &\stackrel{x=a+th}{=} h \int_0^n \prod_{i=0, i \neq k}^n \frac{t - i}{k - i} dt \\ &= (b-a) \cdot \frac{(-1)^{n-k}}{n(n-k)!k!} \int_0^n \prod_{i=0, i \neq k}^n (t - i) dt \\ &:= (b-a)c_k^n. \end{aligned}$$

我们称  $c_k^n$  为 Cotes 系数。对应的 Newton-Cotes 公式为：

$$I_{n+1}(f) = (b-a) \sum_{k=0}^n c_k^n f(x_k).$$

下面我们考察几个常用的 Newton-Cotes 公式：

(1)  $n = 1$  时：通过计算，对应的 Cotes 系数  $c_0^1 = c_1^1 = \frac{1}{2}$ 。因此，可以得到如下求积公式：

$$I_2(f) = \frac{b-a}{2} [f(a) + f(b)],$$

称为梯形公式。

(2)  $n = 2$  时: 可以得到如下求积公式:

$$I_3(f) = \frac{b-a}{6} \left[ f(a) + 4f\left(\frac{a+b}{2}\right) + f(b) \right],$$

称为 Simpson 公式或抛物线公式.

(3)  $n = 4$  时: 可以得到如下求积公式:

$$I_5(f) = \frac{b-a}{90} [7f(x_0) + 32f(x_1) + 12f(x_2) + 32f(x_3) + 7f(x_4)],$$

称为 Cotes 公式.

Cotes 系数可由查系数表获得:

| $n$ | $C_i^{(n)}$         |                      |                      |                       |                       |                       |                      |                      |                     |
|-----|---------------------|----------------------|----------------------|-----------------------|-----------------------|-----------------------|----------------------|----------------------|---------------------|
| 1   | $\frac{1}{2}$       | $\frac{1}{2}$        |                      |                       |                       |                       |                      |                      |                     |
| 2   | $\frac{1}{6}$       | $\frac{2}{3}$        | $\frac{1}{6}$        |                       |                       |                       |                      |                      |                     |
| 3   | $\frac{1}{8}$       | $\frac{3}{8}$        | $\frac{3}{8}$        | $\frac{1}{8}$         |                       |                       |                      |                      |                     |
| 4   | $\frac{7}{90}$      | $\frac{16}{45}$      | $\frac{2}{15}$       | $\frac{16}{45}$       | $\frac{7}{90}$        |                       |                      |                      |                     |
| 5   | $\frac{19}{288}$    | $\frac{25}{96}$      | $\frac{25}{144}$     | $\frac{25}{144}$      | $\frac{25}{96}$       | $\frac{19}{288}$      |                      |                      |                     |
| 6   | $\frac{41}{840}$    | $\frac{9}{35}$       | $\frac{9}{280}$      | $\frac{34}{105}$      | $\frac{9}{280}$       | $\frac{9}{35}$        | $\frac{41}{840}$     |                      |                     |
| 7   | $\frac{751}{17280}$ | $\frac{3577}{17280}$ | $\frac{1323}{17280}$ | $\frac{2989}{17280}$  | $\frac{2989}{17280}$  | $\frac{1323}{17280}$  | $\frac{3577}{17280}$ | $\frac{751}{17280}$  |                     |
| 8   | $\frac{989}{28350}$ | $\frac{5888}{28350}$ | $\frac{-928}{28350}$ | $\frac{10496}{28350}$ | $\frac{-4540}{28350}$ | $\frac{10496}{28350}$ | $\frac{-928}{28350}$ | $\frac{5888}{28350}$ | $\frac{989}{28350}$ |

注解 1. 1. Cotes 系数与被积函数  $f(x)$  及积分区间  $[a, b]$  无关; 2. 当  $n$  较大时, Runge 现象存在, 求积公式不收敛; 3. 当  $n \geq 8$  时, Cotes 系数出现负值, 公式不稳定.

注解 2. Newton-Cotes 公式对  $f(x) = 1$  精确成立, 故 Cotes 系数必满足条件

$$\sum_{k=0}^n c_k^n = 1 \quad \text{对任意 } n \geq 1.$$

### 3.2 Newton-Cotes 公式的误差估计

我们先研究 Newton-Cotes 公式的代数精度. 由 Lagrange 插值余项可知, 当剖分区间的数目为  $n$  时, 相应的 Newton-Cotes 公式

$$I_n(f) = (b-a) \sum_{k=0}^n c_k^n f(x_k).$$

具有至少  $n$  次代数精度. 特别地, 当  $n$  为偶数时, 该公式至少有  $n+1$  次代数精度.

**定理 3.1.** 当  $n$  为偶数时, *Newton-Cotes* 公式至少有  $n + 1$  次代数精度.

*Proof.* 只需证当  $n$  为偶数时, *Newton-Cotes* 公式对  $f(x) = x^{n+1}$  精确成立. 由插值型求积公式的截断误差表达式 (3) 可知:

$$E_{n+1}(f) = \frac{f^{n+1}(\xi)}{(n+1)!} \int_a^b \prod_{i=0}^n (x - x_i) dx.$$

由于  $f^{n+1}(x) \equiv (n+1)!$ , 因此

$$\begin{aligned} E_{n+1}(f) &= \int_a^b \prod_{i=0}^n (x - x_i) dx \\ &\stackrel{x=a+th}{=} h^{n+2} \int_0^n \prod_{i=0}^n (t - i) dt \\ &\stackrel{t=u+\frac{n}{2}}{=} h^{n+2} \int_{-\frac{n}{2}}^{\frac{n}{2}} \prod_{i=0}^n (u + \frac{n}{2} - i) du \\ &= h^{n+2} \int_{-\frac{n}{2}}^{\frac{n}{2}} \prod_{j=-n/2}^{n/2} (u - j) du. \end{aligned}$$

可以看出, 被积函数是奇函数, 因此阶段误差  $E_{n+1}(f) = 0$ . 也就是当  $n$  为偶数时, *Newton-Cotes* 公式对  $f(x) = x^{n+1}$  精确成立. □

接下来, 我们针对梯形公式和 *simpson* 公式给出更加精细的误差估计.

**定理 3.2.** 若  $f(x) \in C^2[a, b]$ , 则梯形公式的截断误差为:

$$\begin{aligned} E_2(f) &= \int_a^b f(x) dx - \frac{b-a}{2} [f(a) + f(b)] \\ &= -\frac{(b-a)^3}{12} f''(\eta), \quad \eta \in (a, b). \end{aligned}$$

*Proof.* 线性插值误差为

$$f(x) - p_1(x) = \frac{f''(\xi)}{2} (x-a)(x-b), \quad a < \xi < b,$$

其中  $\xi$  是依赖于  $x$  的函数, 两边积分得

$$E_2(f) = \int_a^b \frac{f''(\xi)}{2} (x-a)(x-b) dx.$$

由于  $f''(\xi)$  在区间  $[a, b]$  上连续, 而  $(x-a)(x-b)$  在  $[a, b]$  上非正, 由积分中值定理

$$E_2(f) = \int_a^b \frac{f''(\xi)}{2} (x-a)(x-b) dx = \frac{f''(\eta)}{2} \int_a^b (x-a)(x-b) dx = -\frac{(b-a)^3}{12} f''(\eta).$$

□



**定理 3.3.** 若  $f(x) \in C^4[a, b]$ , 则 *Simpson* 公式的截断误差为:

$$\begin{aligned} E_3(f) &= \int_a^b f(x) dx - \frac{b-a}{6} \left[ f(a) + 4f\left(\frac{a+b}{2}\right) + f(b) \right] \\ &= -\frac{(b-a)^5}{2880} f^{(4)}(\eta), \quad \eta \in (a, b). \end{aligned}$$

*Proof.* 由于 *Simpson* 公式具有 3 次代数精度, 构造三次插值多项式  $p_3(x)$  满足

$$p_3(a) = f(a), p_3(b) = f(b), p_3\left(\frac{a+b}{2}\right) = f\left(\frac{a+b}{2}\right), p_3'\left(\frac{a+b}{2}\right) = f'\left(\frac{a+b}{2}\right).$$

则 Hermite 插值误差为

$$f(x) - p_3(x) = \frac{f^{(4)}(\xi)}{4!} (x-a)(x-b) \left(x - \frac{b-a}{2}\right)^2,$$

两边积分

$$\begin{aligned} \int_a^b f(x) dx - \int_a^b p_3(x) dx &= \frac{1}{4!} \int_a^b f^{(4)}(\xi) (x-a)(x-b) \left(x - \frac{b-a}{2}\right)^2 dx \\ &= \frac{f^{(4)}(\eta)}{4!} \int_a^b (x-a)(x-b) \left(x - \frac{b-a}{2}\right)^2 dx \\ &= -\frac{(b-a)^5}{2880} f^{(4)}(\eta), \end{aligned} \tag{4}$$

其中第二个等式利用了积分中值定理。

注意到,  $p_3(x)$  是三次多项式, 故 *Simpson* 公式是精确成立的, 即

$$\begin{aligned} \int_a^b p_3(x) dx &= \frac{b-a}{6} \left[ p_3(a) + 4p_3\left(\frac{a+b}{2}\right) + p_3(b) \right] \\ &= \frac{b-a}{6} \left[ f(a) + 4f\left(\frac{a+b}{2}\right) + f(b) \right]. \end{aligned} \tag{5}$$

将 (5) 代入 (4), 定理得证. □

### 3.3 Newton-Cotes 公式的稳定性

对数值积分公式

$$I_{n+1}(f) = \sum_{k=0}^n A_k f(x_k),$$

假如我们只能得到  $f(x_k)$  的误差估计  $\tilde{f}(x_k)$ , 且有

$$\left| f(x_k) - \tilde{f}(x_k) \right| \leq \epsilon_k, \quad k = 0, \dots, n.$$

那么累计误差

$$\left| I_{n+1}(f) - I_{n+1}(\tilde{f}) \right| = \left| \sum_{k=0}^n A_k f(x_k) - \sum_{k=0}^n A_k \tilde{f}(x_k) \right| \leq \epsilon \sum_{k=0}^n |A_k|,$$

其中  $\epsilon = \max_{0 \leq k \leq n} \epsilon_k$ . 因此, 如果  $\sum_{k=0}^n |A_k|$  有界, 则积分公式是稳定的.

特别地, 对于 Newton-Cotes 公式, 当 Cotes 系数全为正时, 有

$$\sum_{k=0}^n |A_k| = (b-a) \sum_{k=0}^n c_k^n = b-a,$$

这时候的积分公式是稳定的. 由 Cotes 系数表可知, 当  $n \leq 7$  时, Cotes 系数都大于零. 当  $n = 8$  时, Cotes 系数开始出现负值.

## 4 提高求积公式精度的方法

回忆梯形公式和 Simpson 公式的截断误差的表达式, 我们可以看出: 如果积分区间越小, 则求积公式的截断误差亦越小. 这就启发我们先将区间等分, 然后在每一小区间上应用求积公式, 再将所有区间进行求和. 这样得到的公式称为复化求积公式.

### 4.1 复合梯形公式

将区间  $[a, b]$  作  $n$  等分, 其节点为  $x_k = a + kh, k = 0, 1, \dots, n$ , 其中  $h = \frac{b-a}{n}$ . 如果在每一小区间  $[x_k, x_{k+1}]$  上采用梯形公式然后累加可得

$$\int_a^b f(x) dx = \sum_{k=0}^{n-1} \int_{x_k}^{x_{k+1}} f(x) dx \approx \sum_{k=0}^{n-1} \left( \frac{h}{2} [f(x_k) + f(x_{k+1})] \right).$$

我们称

$$T_n := \frac{h}{2} \left[ f(a) + 2 \sum_{k=1}^{n-1} f(x_k) + f(b) \right]$$

为复合梯形公式.

**定理 4.1.** 设  $f(x) \in C^2[a, b]$ , 则复合梯形公式的截断误差为

$$I(f) - T_n = -\frac{(b-a)h^2}{12} f''(\eta), \quad \eta \in (a, b)$$

*Proof.* 由梯形公式余项得

$$I(f) - T_n = \sum_{k=0}^{n-1} \left[ -\frac{h^3}{12} f''(\eta_k) \right], \quad \eta_k \in (x_k, x_{k+1}).$$

由于  $f(x) \in C^2[a, b]$ , 且

$$\min_{0 \leq k \leq n-1} f''(\eta_k) \leq \frac{1}{n} \sum_{k=0}^{n-1} f''(\eta_k) \leq \max_{0 \leq k \leq n-1} f''(\eta_k)$$

由介值定理,  $\exists \eta \in (a, b)$  使得

$$f''(\eta) = \frac{1}{n} \sum_{k=0}^{n-1} f''(\eta_k).$$

故, 复合梯形公式的截断误差为

$$I(f) - T_n = -\frac{nh^3}{12} f''(\eta) = -\frac{(b-a)h^2}{12} f''(\eta).$$

□

## 4.2 复合 Simpson 公式

将区间  $[a, b]$  作  $n$  等分, 其节点为  $x_k = a + kh, k = 0, 1, \dots, n$ , 其中  $h = \frac{b-a}{n}$ . 在每一小区间  $[x_k, x_{k+1}]$  上采用 Simpson 公式可得

$$\int_a^b f(x) dx = \sum_{k=0}^{n-1} \int_{x_k}^{x_{k+1}} f(x) dx \approx \sum_{k=0}^{n-1} \left( \frac{h}{6} [f(x_k) + 4f(x_{k+\frac{1}{2}}) + f(x_{k+1})] \right).$$

我们称

$$S_n := \frac{h}{6} \sum_{k=0}^{n-1} [f(x_k) + 4f(x_{k+\frac{1}{2}}) + f(x_{k+1})]$$

为复合 Simpson 公式. 这里,  $x_{k+\frac{1}{2}}$  表示区间  $[x_k, x_{k+1}]$  的中点.

**定理 4.2.** 设  $f(x) \in C^4[a, b]$ , 则复合 Simpson 公式的截断误差为

$$I(f) - S_n = -\frac{(b-a)h^4}{2880} f^{(4)}(\eta), \quad \eta \in (a, b)$$

**例 1.** 如果采用复合梯形公式和复合 Simpson 公式计算定积分

$$\int_0^1 e^x dx,$$

要使得误差不超过  $5 \times 10^{-6}$ , 应将区间  $[0, 1]$  分成多少等分?

解.  $f(x) = e^x, f^{(n)}(x) = e^x, b - a = 1$ . 对于复合梯形公式, 由阶段误差

$$|I(f) - T_n| = \left| -\frac{(b-a)h^2}{12} f''(\eta) \right| = \frac{1}{12} \left( \frac{1}{n} \right)^2 e \leq 5 \times 10^{-6}$$

可得  $n \geq 212.85$ . 故可取  $n = 213$ , 也就是将区间分为 213 等分, 可使误差不超过  $5 \times 10^{-6}$ .

如果采用复合 Simpson 公式, 有

$$\left| -\frac{(b-a)h^4}{2880} f^{(4)}(\eta) \right| = \frac{1}{2880} \left( \frac{1}{n} \right)^2 e \leq 5 \times 10^{-6},$$

由此得  $n \geq 3.707$ . 可取  $n = 4$ , 此时实际上区间应分为 8 等份. □

作业: P179 习题 7.

### 4.3 复合公式之间的递推关系

首先将区间  $[a, b]$  作  $n$  等分, 如果再将每个子区间  $[x_k, x_{k+1}]$  二分一次, 从而新增分点  $x_{k+\frac{1}{2}}, k = 0, \dots, n-1$ . 则复合梯形公式

$$\begin{aligned} T_{2n} &= \frac{h}{4} \sum_{k=0}^{n-1} [f(x_k) + 2f(x_{k+\frac{1}{2}}) + f(x_{k+1})] \\ &= \frac{h}{4} \sum_{k=0}^{n-1} [f(x_k) + f(x_{k+1})] + \frac{h}{2} \sum_{k=0}^{n-1} f(x_{k+\frac{1}{2}}) \end{aligned}$$

其中  $h = \frac{b-a}{n}$  为二分前的子区间长度. 记

$$H_n := h \sum_{k=0}^{n-1} f(x_{k+\frac{1}{2}}),$$

那么我们有

$$T_{2n} = \frac{1}{2}T_n + \frac{1}{2}H_n.$$

类似地, 我们可以推得

$$S_n = \frac{1}{3}T_n + \frac{2}{3}H_n = \frac{4T_{2n} - T_n}{3}.$$

**注解 3.** 复合梯形递推公式算法简单, 编程方便, 但收敛速度较慢.

### 4.4 Romberg 算法

Romberg 算法思想是将两个粗糙的近似值通过组合获得更精确的值. 为此, 我们需要如下关于复合梯形公式误差表达式的渐近形式:

**定理 4.3.** 设  $f(x) \in C^\infty[a, b]$ , 记  $I(f) = \int_a^b f(x) dx$ ,  $h = \frac{b-a}{n}$ , 则有

$$T_n = I(f) + \alpha_1 h^2 + \alpha_2 h^4 + \dots + \alpha_k h^{2k} + \dots,$$

其中系数  $\alpha_k$  与  $h$  无关.

基于上述定理，我们有

$$T_n = I(f) + \alpha_1 h^2 + \alpha_2 h^4 + \cdots + \alpha_k h^{2k} + \cdots$$

和

$$T_{2n} = I(f) + \alpha_1 \left(\frac{h}{2}\right)^2 + \alpha_2 \left(\frac{h}{2}\right)^4 + \cdots + \alpha_k \left(\frac{h}{2}\right)^{2k} + \cdots$$

两式相减并消去  $O(h^2)$  项可得

$$4T_{2n} - T_n = 3I(f) + (-3/4)\alpha_2 h^4 + (-15/16)\alpha_2 h^4 + \cdots$$

因此，我们有

$$S_n := \frac{4T_{2n} - T_n}{3} = I(f) + \beta_1 h^4 + \beta_2 h^6 + \cdots$$

通过以上操作，我们将两个  $O(h^2)$  阶的积分公式进行组合，得到了一个  $O(h^4)$  阶的积分公式. 这一过程被称为 Richardson 外推法.

注解 4. 回忆上一节关于复合公式之间的递推关系，我们发现，将复合梯形公式进行上述这样组合得到的公式正是我们熟知的 *Simpson* 公式。这也是我们为什么选择符号  $S_n$  来标记这个公式的原因.

类似地，我们对得到的  $S_n$  进行同样的操作，也就是通过两式相减消除  $O(h^4)$  项，可得

$$C_n := \frac{16S_{2n} - S_n}{15} = I(f) + \gamma_1 h^6 + \gamma_2 h^8 + \cdots$$

我们可以继续这样的操作：

$$R_n := \frac{64C_{2n} - C_n}{63} = I(f) + O(h^8)$$

我们可以将上述过程写成统一的形式：记  $T_n^m$  为  $T_n$  经过  $m$  次加速后的积分公式，则有

$$T_n^m := \frac{4^m T_{2n}^{m-1} - T_n^{m-1}}{4^m - 1}, \quad m = 1, 2, \dots$$

上述过程称为 Romberg 算法.

Romberg 算法可以按如下递推表进行：

作业：用 Romberg 算法计算定积分（写出迭代 5 步的递推表）

$$\int_0^1 x^{3/2} dx.$$

| 迭代 $k$   | $T_n^0$    | $T_n^1$    | $T_n^2$  | $T_n^3$  | $T_n^4$  | $T_n^5$  | ... |
|----------|------------|------------|----------|----------|----------|----------|-----|
| 0        | $T_1^0$    |            |          |          |          |          |     |
| 1        | $T_2^0$    | $T_1^1$    |          |          |          |          |     |
| 2        | $T_4^0$    | $T_2^1$    | $T_1^2$  |          |          |          |     |
| 3        | $T_8^0$    | $T_4^1$    | $T_2^2$  | $T_1^3$  |          |          |     |
| 4        | $T_{16}^0$ | $T_8^1$    | $T_4^2$  | $T_2^3$  | $T_1^4$  |          |     |
| 5        | $T_{32}^0$ | $T_{16}^1$ | $T_8^2$  | $T_4^3$  | $T_2^4$  | $T_1^5$  |     |
| $\vdots$ | $\vdots$   | $\vdots$   | $\vdots$ | $\vdots$ | $\vdots$ | $\vdots$ | ... |

## 5 非等距节点的求积公式

考虑一般求积公式

$$\int_a^b \rho(x)f(x) dx \approx \sum_{k=0}^n A_k f(x_k). \quad (6)$$

对于 Newton-Cotes 求积公式，我们选择的求积节点为等距节点，得到的公式具有至少  $n$  次代数精度。

我们自然关心如下问题：如果对求积节点不作任何限制，是否可以提高求积公式的代数精度？事实上，注意到这时候的求积公式 (6) 具有  $2n+2$  个待定系数  $x_k, A_k, k=0, \dots, n$ 。因此，通过适当选取  $x_k$ ，我们有可能使求积公式具有  $2n+1$  次代数精度。这需要我们求解一个非线性方程组。

**例 2.** 对求积公式

$$\int_{-1}^1 f(x) dx \approx A_0 f(x_0) + A_1 f(x_1),$$

试确定节点与系数，使其具有尽可能高的代数精度。

解. 令求积公式对于  $f(x) = 1, x, x^2, x^3$  精确成立，则得

$$\begin{cases} A_0 + A_1 = 2 \\ A_0 x_0 + A_1 x_1 = 0 \\ A_0 x_0^2 + A_1 x_1^2 = \frac{2}{3} \\ A_0 x_0^3 + A_1 x_1^3 = 0 \end{cases}$$

解得

$$x_0 = -\frac{\sqrt{3}}{3}, x_1 = \frac{\sqrt{3}}{3}; \quad A_0 = A_1 = 1.$$

因此，积分公式为

$$\int_{-1}^1 f(x) dx \approx f\left(-\frac{\sqrt{3}}{3}\right) + f\left(\frac{\sqrt{3}}{3}\right).$$

容易验证, 当  $f(x) = (x - x_0)^2(x - x_1)^2$  时, 公式不精确成立, 故上述积分公式的代数精度为 3. □

## 5.1 Gauss 型求积公式

一般地,  $n$  个节点的求积公式的代数精度最高为  $2n + 1$  次。由此, 我们有如下定义:

**定义 4.** 考虑带权积分  $\int_a^b \rho(x)f(x) dx$ , 如果求积公式

$$\int_a^b \rho(x)f(x) dx \approx \sum_{k=0}^n A_k f(x_k)$$

有  $2n + 1$  次代数精度, 则称其节点  $x_k, k = 0, \dots, n$  为高斯节点, 公式称为高斯型求积公式。

取  $f(x) = x^m, m = 0, 1, \dots, 2n + 1$ , 求积公式精确成立, 则得到关于  $A_k$  和  $x_k$  的非线性方程组:

$$\sum_{k=0}^n A_k x_k^m = \int_a^b \rho(x)x^m dx, \quad m = 0, \dots, 2n + 1.$$

上述非线性方程组的求解非常困难! 注意到, 如果先确定了节点  $x_k$ , 那么再确定  $A_k$  就容易得多了. 事实上, 假设  $n + 1$  个节点为

$$a \leq x_0 < x_1 < \dots < x_n \leq b,$$

那么  $f(x)$  在这  $n + 1$  个点的插值多项式为

$$L_n(x) = \sum_{k=0}^n f(x_k)l_k(x),$$

其中  $l_k(x)$  为插值基函数. 从而, 我们可以得到具有至少  $n$  次代数精度的求积公式

$$\int_a^b \rho(x)f(x) dx \approx \sum_{k=0}^n A_k f(x_k),$$

其中

$$A_k = \int_a^b \rho(x)l_k(x) dx.$$

进一步, 借助于多项式插值的误差表达式, 我们还知道上述求积公式的截断误差为

$$\begin{aligned} E_{n+1}(f) &:= \int_a^b \rho(x)f(x) dx - \sum_{k=0}^n A_k f(x_k) \\ &= \int_a^b \rho(x) (f[x_0, x_1, \dots, x_n, x]\omega_{n+1}(x)) dx, \end{aligned}$$

这里  $\omega_{n+1}(x) = (x - x_0)\cdots(x - x_n)$ .

通过以上分析, 我们知道: 要想使得求积公式具有  $2n + 1$  次代数精度, 我们需要小心的选取节点  $x_k$ , 使得当取  $f(x) = x^m, m = n + 1, \dots, 2n + 1$ , 均有截断误差  $E_{n+1}(f) = 0$ . 为此, 我们需要如下结论:

作业: 假设  $f(x) = x^m (m > n)$ , 那么差商  $f[x_0, x_1, \dots, x_n, x]$  是一个  $m - n - 1$  次的多项式.

基于上述事实, 我们知道: 当取  $f(x) = x^m, m = n + 1, \dots, 2n + 1, f[x_0, x_1, \dots, x_n, x]$  是一个次数不超过  $n$  的多项式; 而  $\omega_{n+1}(x)$  是一个  $n + 1$  次多项式. 因此, 使得  $E_{n+1}(f) = 0$  的一个充分条件是:  $\omega_{n+1}(x)$  是区间  $[a, b]$  上关于权函数  $\rho(x)$  的  $n + 1$  次正交多项式.

最后, 我们将高斯型求积公式作个总结: 首先, 高斯型求积公式的节点  $x_k$  就是区间  $[a, b]$  上带权  $\rho(x)$  的正交多项式的零点. 有了求积公式, 求积系数可以按如下两种方式进行计算:

(1) 利用  $x_0, \dots, x_n$  的插值多项式计算求积系数  $A_k$ .

(2) 利用求积公式对  $f(x) = x^m, m = 0, 1, \dots, n$  精确成立, 解一组关于系数的线性方程组.

### 例 3. 确定求积公式

$$\int_0^1 \sqrt{x} f(x) dx \approx A_0 f(x_0) + A_1 f(x_1)$$

的系数  $A_0, A_1$  及节点  $x_0, x_1$ , 使得它具有最高的代数精度.

解. 具有最高代数精度的求积公式是高斯型求积公式, 节点为关于权函数  $\rho(x) = \sqrt{x}$  的正交多项式零点. 设

$$\omega(x) = x^2 + bx + c.$$

由正交性可知,  $\omega(x)$  与 1 及  $x$  带权正交:

$$\int_0^1 \sqrt{x} \omega(x) dx = 0, \quad \int_0^1 \sqrt{x} x \omega(x) dx = 0.$$

即

$$\frac{2}{7} + \frac{2}{5}b + \frac{2}{3}c = 0, \quad \frac{2}{9} + \frac{2}{7}b + \frac{2}{5}c = 0.$$

求解方程组可得:

$$b = -\frac{10}{9}, \quad c = \frac{5}{21}.$$

也就是

$$\omega(x) = x^2 - \frac{10}{9}x + \frac{5}{21},$$



其零点为

$$x_0 = 0.289919, \quad x_1 = 0.821162.$$

接下来, 我们确定系数: 由于高斯型求积公式有 3 次代数精度, 故公式对  $f(x) = 1, x$  精确成立. 也就是

$$\begin{aligned} A_0 + A_1 &= \int_0^1 \sqrt{x} dx = \frac{2}{3} \\ A_0 x_0 + A_1 x_1 &= \int_0^1 \sqrt{x} \cdot x dx = \frac{2}{5}, \end{aligned}$$

由此解出  $A_0 = 0.277556, A_1 = 0.389111$ .

□

### 5.1.1 Gauss 型求积公式的截断误差

由于  $n + 1$  个节点的高斯型求积公式具有  $2n + 1$  次代数精度, 因此考虑  $f(x)$  在节点  $x_k$  的 Hermite 插值  $H_{2n+1}(x)$ , 即

$$H_{2n+1}(x_k) = f(x_k), \quad H'_{2n+1}(x_k) = f'(x_k), \quad k = 0, \dots, n.$$

由 Hermite 插值的截断误差可知

$$f(x) = H_{2n+1}(x) + \frac{f^{(2n+2)}(\xi)}{2n+2} \omega_{n+1}^2(x).$$

两边积分

$$\int_a^b \rho(x) f(x) dx = \int_a^b \rho(x) H_{2n+1}(x) dx + \int_a^b \rho(x) \frac{f^{(2n+2)}(\xi)}{2n+2} \omega_{n+1}^2(x) dx$$

其中右端第一项积分对  $2n + 1$  次多项式精确成立, 故

$$\int_a^b \rho(x) H_{2n+1}(x) dx = \sum_{k=0}^n A_k f(x_k).$$

由此, 我们可以得到 Gauss 型求积公式的截断误差

$$\begin{aligned} E_{n+1}(f) &:= \int_a^b \rho(x) f(x) dx - \sum_{k=0}^n A_k f(x_k) \\ &= \int_a^b \rho(x) \frac{f^{(2n+2)}(\xi)}{2n+2} \omega_{n+1}^2(x) dx \\ &= \frac{f^{(2n+2)}(\eta)}{2n+2} \int_a^b \rho(x) \omega_{n+1}^2(x) dx. \end{aligned}$$

接下来, 我们说明 Gauss 型求积公式是稳定的。为此, 我们只需证明如下定理:

定理 5.1. Gauss 型求积公式的求积系数  $A_k$  均大于零.

*Proof.* 考虑 Lagrange 插值基函数

$$l_k(x) = \prod_{\substack{j=0 \\ j \neq k}}^n \frac{x - x_j}{x_k - x_j},$$

则  $l_k^2(x)$  是  $2n$  次多项式, 故 Gauss 求积公式对它能准确成立. 即有

$$\int_a^b \rho(x) l_k^2(x) dx = \sum_{j=0}^n A_j l_k^2(x_j).$$

注意到,  $l_k^2(x_j) = \delta_{kj}$ . 因此, 上式右端等于  $A_k$ , 从而有

$$A_k = \int_a^b \rho(x) l_k^2(x) dx > 0$$

□

作业: 假定  $f(x) \in C^2[a, b]$ , 求证:

$$\int_a^b f(x) dx - (b-a)f\left(\frac{a+b}{2}\right) = \frac{(b-a)^3}{24} f''(\eta), \quad a \leq \eta \leq b.$$

### 5.1.2 常用的 Gauss 型求积公式

#### (1) Gauss-Legendre 求积公式

当权函数  $\rho(x) \equiv 1$ , 区间  $[a, b] = [-1, 1]$  时, 对应的正交多项式是 Legendre 多项式。以  $n+1$  次 Legendre 多项式  $P_{n+1}(x)$  的全部零点为求积节点, 得到的积分公式称为 Gauss-Legendre 求积公式。

比如: 当  $n=0$  时,  $P_1(x) = x$ . 其零点为  $x_0 = 0$ , 故积分公式为

$$\int_{-1}^1 f(x) dx \approx A_0 f(0).$$

求积公式对  $f(x) \equiv 1$  精确成立, 得  $A_0 = 2$ . 从而得到中点公式

$$\int_{-1}^1 f(x) dx \approx 2f(0).$$

作业: 给出当  $n=2$  时 3 个节点的 Gauss-Legendre 求积公式。

对于 Gauss-Legendre 求积公式

$$\int_{-1}^1 f(x) dx \approx \sum_{k=0}^n A_k f(x_k),$$

当  $n$  较小时的节点和系数可查下表获得:

| $n$ | $x_k$                   | $A_k$                        | $n$ | $x_k$  | $A_k$  |
|-----|-------------------------|------------------------------|-----|--|--|
| 0   | 0                       | 2                            | 3   | $\pm 0.8611363116$<br>$\pm 0.3399810436$                       | 0.3478548451<br>0.6521451549                 |
| 1   | $\pm 0.5773502692$      | 1                            | 4   | $\pm 0.9061798459$<br>$\pm 0.5384693101$<br>0                  | 0.2369268851<br>0.4786286705<br>0.5688888889 |
| 2   | $\pm 0.7745966692$<br>0 | 0.5555555556<br>0.8888888889 | 5   | $\pm 0.9324695142$<br>$\pm 0.6612093865$<br>$\pm 0.2386191861$ | 0.1713244924<br>0.3607615730<br>0.4679139346 |

表 1: 节点系数表

注解 5. 当区间  $[a, b] \neq [-1, 1]$  时, 只需做变换

$$x = \frac{b-a}{2}t + \frac{a+b}{2},$$

我们就能将区间  $[a, b]$  转化为  $[-1, 1]$ 。此时, 有

$$\int_a^b f(x)dx = \int_{-1}^1 f\left(\frac{b-a}{2}t + \frac{a+b}{2}\right)dt.$$

这时候, 我们就能对右端积分用 *Gauss-Legendre* 公式。

例 4. 用 4 点的 *Gauss-Legendre* 公式计算积分

$$\int_0^{\frac{\pi}{2}} x^2 \cos x dx.$$

## (2) Gauss-Chebyshev 公式

区间  $[a, b] = [-1, 1]$ , 关于权函数  $\rho(x) = \frac{1}{\sqrt{1-x^2}}$  正交的多项式为 Chebyshev 多项式。  $n$  次 Chebyshev 多项式的零点为:

$$x_k = \cos\left(\frac{2k-1}{2n}\pi\right), \quad k = 1, \dots, n.$$

得到的求积公式为 Gauss-Chebyshev 公式:

$$\int_{-1}^1 \frac{f(x)}{\sqrt{1-x^2}} dx \approx \frac{\pi}{n} \sum_{k=1}^n f(x_k).$$

上述积分公式可用于计算奇异积分。

### (3) Gauss-Laguerre 公式

区间  $[0, +\infty)$ , 关于权函数  $\rho(x) = e^{-x}$  正交的多项式为 Laguerre 多项式。由其零点, 我们可以得到 Gauss-Laguerre 公式。具体计算时, 求积节点与系数可查表获得。

### (3) Gauss-Hermite 公式

区间  $(-\infty, +\infty)$ , 关于权函数  $\rho(x) = e^{-x^2}$  正交的多项式为 Hermite 多项式。类似地, 我们可以得到 Gauss-Hermite 公式。求积节点与系数可查表获得。

## 5.2 一致系数公式

在求积公式中, 如果所有的求积系数均相同, 那么这个公式被称为一致系数公式。一致系数公式因形式简单而受到人们的关注, 下面我们简单介绍一下。为了简单起见, 这里我们只考虑  $\rho(x) \equiv 1$  的情形。一般情形可作类似分析。

$n$  个节点的一致系数公式可以描述为:

$$\int_a^b f(x) dx \approx A_n \sum_{k=1}^n f(x_k).$$

为了使  $f(x) = 1$  时公式精确成立, 可得一致系数

$$A_n = \frac{b-a}{n}.$$

为了使求积公式具有尽可能高的精度, 我们必须小心地选择节点。为了使求积公式具有  $n$  次代数精度, 当取  $f(x) = x^m$ ,  $m = 1, \dots, n$  时, 节点  $x_k$  应满足

$$A_n \sum_{k=1}^n x_k^m = \frac{1}{m+1} (b^{m+1} - a^{m+1}), \quad m = 1, \dots, n. \quad (7)$$

所以, 我们接下来的任务就是如何求解上述非线性方程。Newton 恒等式给我们提供了一个可行的途径: 假设  $x_1, \dots, x_n$  是  $n$  次多项式

$$p_n(x) = x^n + \sigma_1 x^{n-1} + \dots + \sigma_n$$

的根, 则 Newton 恒等式告诉我们

$$\begin{cases} s_1 + \sigma_1 & = 0 \\ s_2 + s_1\sigma_1 + 2\sigma_2 & = 0 \\ \dots & \\ s_n + s_{n-1}\sigma_1 + \dots + s_1\sigma_{n-1} + n\sigma_n & = 0 \end{cases},$$

其中

$$s_m := x_1^m + x_2^m + \dots + x_n^m, \quad m = 1, \dots, n.$$

注意到，通过等式 (7)，我们能够很容易得到所有的  $s_m$ ，从而求得所有的  $\sigma_m$ 。因此，寻找求积节点转化为求解多项式  $p_n(x)$  的所有根。

**注解 6.** 任何区间都可以通过变量代换化成  $[-1, 1]$ 。对于这个特殊的区间，求积节点可以通过查表获得。

## 6 特殊积分的处理技术

本节我们介绍振荡函数积分以及奇异积分的处理方法，其核心思想就是：将难处理的积分部分看成权函数，从而使得数值积分公式具有较高的精度。

### 6.1 振荡函数的积分

工程技术中遇到的一类振荡积分为

$$\begin{cases} I_1 = \int_a^b f(x) \sin mx \, dx \\ I_2 = \int_a^b f(x) \cos mx \, dx \end{cases}.$$

当  $m$  充分大时， $\sin mx$  和  $\cos mx$  振荡的频率很大，使得很难通过选择合适的节点对被积函数  $f(x) \sin mx$  和  $f(x) \cos mx$  进行有效的逼近。

注意到，函数  $f(x)$  一般是可以被有效逼近的。因此，处理上述振荡积分的一种途径是：将  $\sin mx$  和  $\cos mx$  当作权函数，而对  $f(x)$  进行 Lagrange 插值逼近。

接下来，我们介绍其推导过程。为了统一处理积分  $I_1$  和  $I_2$ ，我们令  $\rho(x) = e^{imx}$ 。因此，有

$$I_1 + iI_2 = \int_a^b e^{imx} f(x) \, dx.$$

假设  $f(x)$  在  $n+1$  个节点  $x_k$  处的 Lagrange 插值为

$$L_n(x) = \sum_{k=0}^n l_k(x) f(x_k),$$

那么有积分公式

$$\int_a^b e^{imx} f(x) \, dx \approx \sum_{k=0}^n A_k f(x_k),$$

其中积分系数

$$A_k = \int_a^b e^{imx} l_k(x) \, dx.$$

这样我们就给出了振荡积分  $I_1$  和  $I_2$  的积分公式。

比如, 当  $n = 1$  时, 函数  $f(x)$  在  $a, b$  两点的 Lagrange 插值为

$$L_1(x) = \frac{x-b}{a-b}f(a) + \frac{x-a}{b-a}f(b).$$

因此, 积分系数

$$A_0 = \int_a^b e^{imx} \frac{x-b}{a-b} dx = \frac{ie^{ima}}{m} - \frac{e^{imb} - e^{ima}}{m^2(b-a)},$$

$$A_1 = \int_a^b e^{imx} \frac{x-a}{b-a} dx = -\frac{ie^{imb}}{m} + \frac{e^{imb} - e^{ima}}{m^2(b-a)},$$

利用实部与虚部的对应关系, 可得  $I_1$  和  $I_2$  的求积公式:

$$\begin{cases} I_1 = \frac{f(a) \cos ma - f(b) \cos mb}{m} + \frac{(\sin mb - \sin ma)(f(b) - f(a))}{m^2(b-a)} \\ I_2 = \frac{f(b) \sin mb - f(a) \sin ma}{m} + \frac{(\cos mb - \cos ma)(f(b) - f(a))}{m^2(b-a)} \end{cases}.$$

为了得到较高的精度, 可以将区间细分, 然后在每个子区间上利用上述公式。

作业: 选择合适数值积分方法计算定积分

$$\int_0^{2\pi} x \cos x (\sin 40x + \cos 50x) dx.$$

## 6.2 奇异积分

被积函数在求积区间的某一点无界或积分区间无界, 这类积分称为奇异积分, 前者也称为反常积分, 后者也称为无穷积分. 对于奇异积分, 有时可以通过变量代换或分部积分转化为正常积分。如

$$\int_0^1 \frac{f(x)}{\sqrt{x}} dx \stackrel{x=t^n}{=} n \int_0^1 f(t^n) t^{n-1} dt, \quad n \geq 2.$$

当被积函数相当复杂时, 用变量代换消去函数的奇异性将是十分困难的. 解决的办法是将奇异积分的被积函数写成  $\rho(x)f(x)$  的形式, 其中  $f(x)$  不具有奇异性. 接下来的处理方式就自然了, 也就是选取合适的求积节点, 对  $f(x)$  进行 Lagrange 插值, 然后计算求积系数. 特别地, 当选取高斯节点时, 得到的积分就是高斯积分公式。

比如, 当权函数分别为  $\frac{1}{\sqrt{1-x^2}}$ ,  $e^{-x}$  和  $e^{-x^2}$  时, 有相应的 Gauss-Chebyshev 公式、Gauss-Laguerre 公式和 Gauss-Hermite 公式。

作业: 选择合适数值积分方法计算定积分

$$\int_0^1 \frac{e^x}{\sqrt{1-x^2}} dx, \quad \int_0^\infty e^{-2x} \ln(1+x) dx.$$

## 7 多重积分

多重积分可以写成如下形式:

$$I(f) := \int_D f(x) dx,$$

其中  $D$  是求积区域, 且

$$x = (x_1, \dots, x_n) \in \mathbb{R}^n, \quad dx = dx_1 dx_2 \cdots dx_n.$$

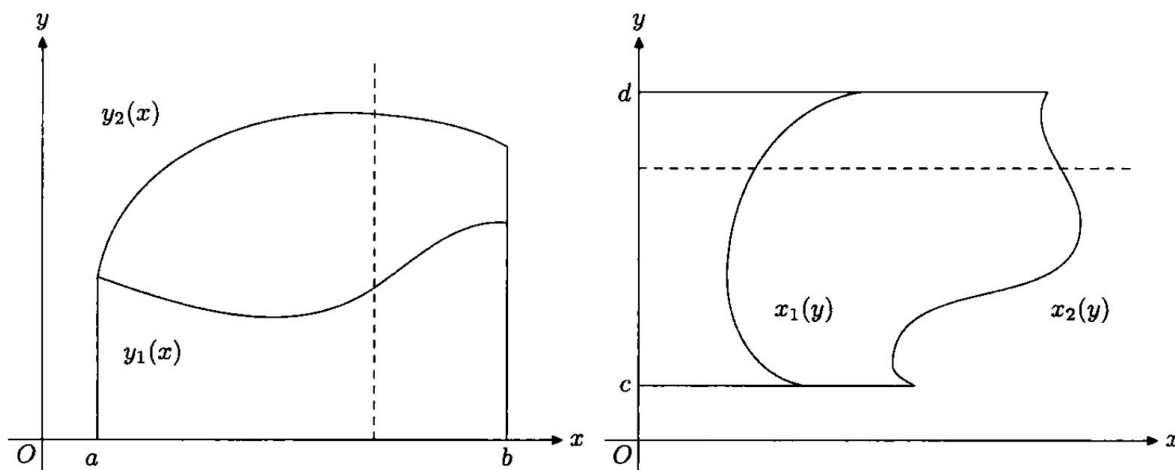
多重积分的数值积分公式具有如下形式:

$$I_N(f) := \sum_{k=1}^N A_k f(x_k),$$

这里  $x_k \in \mathbb{R}^n$  是求积节点,  $A_k$  是求积系数. 如果上述数值积分公式对所有次数不超过  $m$  的多元多项式均精确成立, 那么我们称该积分公式具有至少  $m$  次代数精度.

### 7.1 累次积分

计算多重积分的一个基本思想就是先化为累次积分, 再利用数值积分公式. 我们主要考虑二维空间中的如下两种区域类型:  $x$ -型区域和  $y$ -型区域.



以左图的  $x$ -型区域  $D = \{(x, y) : a \leq x \leq b, y_1(x) \leq y \leq y_2(x)\}$  为例, 重积分可以转化为

$$I(f) := \int_D f(x) dx = \int_a^b \left( \int_{y_1(x)}^{y_2(x)} f(x, y) dy \right) dx := \int_a^b F(x) dx, \quad (8)$$

其中

$$F(x) = \int_{y_1(x)}^{y_2(x)} f(x, y) dy.$$

我们可以先对积分 (8) 利用一维数值积分公式得

$$I(f) \approx \sum_{k=0}^n \alpha_k F(x_k).$$

然后对每一个  $F(x_k)$  关于  $y$  再次利用一维数值积分公式

$$F(x_k) \approx \sum_{j=0}^{m_k} \beta_{k,j} f(x_k, y_{k,j}).$$

这里的系数  $\beta_{k,j}$  和  $y_{k,j}$  均依赖于  $x_k$ . 结合以上两式, 可得求积公式

$$I(f) \approx \sum_{k=0}^n \sum_{j=0}^{m_k} \alpha_k \beta_{k,j} f(x_k, y_{k,j}).$$

**例 5.** 考虑矩形区域  $D = \{(x, y) : a \leq x \leq b, c \leq y \leq d\}$ , 重积分可写成累次积分

$$\int \int_D f(x, y) dx dy = \int_a^b \left( \int_c^d f(x, y) dy \right) dx.$$

则梯形公式为

$$\begin{aligned} \int \int_D f(x, y) dx dy &\approx \frac{b-a}{2} \left( \int_c^d f(a, y) dy + \int_c^d f(b, y) dy \right) \\ &\approx \frac{(b-a)(d-c)}{4} [f(a, c) + f(a, d) + f(b, c) + f(b, d)]. \end{aligned}$$

为了提高数值精度, 在计算累次积分的时候, 我们可以采用高斯求积公式。为此, 我们只需要通过变量替换的方式将区域  $D$  变成区域  $\tilde{D} := \{(x, y) : -1 \leq x \leq 1, -1 \leq y \leq 1\}$ . 比如, 对于矩形区域  $D = \{(x, y) : a \leq x \leq b, c \leq y \leq d\}$ , 令

$$x = \frac{a+b}{2} + \frac{b-a}{2}u, \quad y = \frac{c+d}{2} + \frac{d-c}{2}v,$$

则有

$$\int \int_D f(x, y) dx dy = \frac{(b-a)(d-c)}{4} \int \int_{\tilde{D}} g(u, v) du dv.$$

作业: 分别利用一维上三点的 Gauss 型求积公式和复化梯形公式 ( $h = 0.1$ ) 计算重积分

$$\int \int_D e^{-xy} dx dy,$$

其中区域  $D = \{(x, y) : 0 \leq x \leq 1, 0 \leq y \leq 1\}$ .



## 7.2 重积分的插值型积分公式

考虑二维重积分

$$I(f) = \int \int_D f(x, y) dx dy.$$

类似于一维情形, 构造重积分的数值积分公式的思想是: 用一个插值多项式代替求积函数, 然后得到积分公式。遗憾的是, 针对一般节点的高维插值仍然是一个尚未解决的问题。

然而, 选取规则的节点组  $(x_i, y_j), i = 0, \dots, m; j = 0, \dots, n$ , 其上的高维插值可以通过一维插值多项式的直积的形式给出。具体来说, 假设  $X_{m,i}, i = 0, \dots, m$  为  $x$  方向上关于节点  $x_0, x_1, \dots, x_m$  的 Lagrange 插值基函数,  $Y_{n,j}, j = 0, \dots, n$  为  $y$  方向上关于节点  $y_0, y_1, \dots, y_n$  的 Lagrange 插值基函数, 也就是

$$X_{m,i}(x_k) = \prod_{\substack{k=0 \\ k \neq i}}^m \frac{x - x_k}{x_i - x_k}, \quad i = 0, \dots, m, \quad Y_{n,j}(y_k) = \prod_{\substack{k=0 \\ k \neq j}}^n \frac{y - y_k}{y_j - y_k}, \quad j = 0, \dots, n.$$

那么在二维节点  $(x_i, y_j), i = 0, \dots, m; j = 0, \dots, n$  处的插值基函数为

$$X_{m,i}(x)Y_{n,j}(y), \quad i = 0, \dots, m, \quad j = 0, \dots, n.$$

因此, 函数  $f(x, y)$  在这组节点下的二维 Lagrange 插值多项式为

$$p(x, y) = \sum_{i=0}^m \sum_{j=0}^n f(x_i, y_j) X_{m,i}(x) Y_{n,j}(y).$$

相应的数值积分公式为

$$\int \int_D f(x, y) dx dy \approx \sum_{i=0}^m \sum_{j=0}^n A_{i,j} f(x_i, y_j),$$

其中

$$A_{i,j} = \int \int_D X_{m,i}(x) Y_{n,j}(y) dx dy.$$

可以证明, 上述积分公式具有至少  $\min\{m, n\}$  次代数精度。特别地, 当选取  $m = n$  时, 我们可以利用  $(n+1)^2$  个节点构造具有至少  $n$  次代数精度的求积公式。

## 7.3 待定系数法

二维情形的求积公式的一般形式为

$$I_N(f) := \sum_{k=1}^N A_k f(x_k, y_k),$$

该公式具有  $3N$  个参数. 要使上述积分公式具有至少  $n$  次代数精度, 我们要求对所有次数不超过  $n$  的二元多项式精确成立, 也就是

$$\sum_{k=1}^N A_k x_k^r y_k^q = \int \int_D x^r y^q dx dy \quad \text{对所有 } r \geq 0, q \geq 0, r + q \leq n.$$

可以看出, 一共有  $\frac{1}{2}(n+1)(n+2)$  个方程. 为使方程组有解, 需要满足条件

$$3N \geq \frac{1}{2}(n+1)(n+2).$$

粗略来说, 通过  $N$  个节点构造的二维数值积分公式具有  $O(\sqrt{N})$  次代数精度.

# 快速 Fourier 变换

黄 猛\*

北京航空航天大学 数学科学学院

April 23, 2023

## 1 Fourier 级数

假设  $f$  是周期为  $T$  且在区间  $[0, T]$  上可积的函数, 那么  $f$  的 Fourier 级数定义为

$$f(x) \sim \sum_{n=-\infty}^{\infty} \hat{f}(n) e^{2\pi i n x / T},$$

此处,

$$\hat{f}(n) = \frac{1}{T} \int_{-T/2}^{T/2} f(x) e^{-2\pi i n x / T} dx.$$

我们通常考虑周期为  $2\pi$  的情形, 此时

$$f(\theta) \sim \sum_{n=-\infty}^{\infty} \hat{f}(n) e^{i n \theta},$$

其中,

$$\hat{f}(n) = \frac{1}{2\pi} \int_{-\pi}^{\pi} f(\theta) e^{-i n \theta} d\theta.$$

我们先看几个例子:

**例 1.** 假设  $f(\theta) = \theta, \theta \in [-\pi, \pi)$ , 那么

$$f(\theta) \sim 2 \sum_{n=1}^{\infty} (-1)^{n+1} \frac{\sin n\theta}{n}.$$

接下来, 我们考虑 Fourier 级数的唯一性和收敛性, 包括逐点收敛和平方收敛。

---

\*电子邮件: menghuang@buaa.edu.cn

## 1.1 Fourier 级数的唯一性

在 Fourier 级数的唯一性方面，人们关心如下问题：

如果  $f$  和  $g$  有同样的 Fourier 系数，那么  $f$  和  $g$  是否相等？

我们不加证明的给出如下唯一性结果：

**定理 1.1.** 假设  $f$  是周期为  $2\pi$  的可积函数，且对所有的  $n \in \mathbb{Z}$  均有  $\hat{f}(n) = 0$ . 那么，当  $f$  在点  $\theta_0$  处连续时，有  $f(\theta_0) = 0$ .

上述定理告诉我们，当  $f$  和  $g$  均为连续函数时，如果  $f$  和  $g$  有同样的 Fourier 系数，那么  $f \equiv g$ .

## 1.2 Fourier 级数的收敛性

定义函数  $f$  的  $N$  阶 Fourier 级数部分和为

$$S_N(f)(\theta) = \sum_{n=-N}^N \hat{f}(n)e^{in\theta}.$$

我们关心的是：对任意的  $\theta$ ，是否成立

$$\lim_{N \rightarrow \infty} S_N(f)(\theta) = f(\theta) ?$$

事实上，即使  $f(\theta)$  是一个连续的周期函数，上述结论也并不总是成立. 进一步，倘若我们假设  $f$  是可微的，那么我们可以证明  $f$  的 Fourier 级数一致收敛到  $f$ . 一般地，我们有如下结果：

**定理 1.2 (逐点收敛定理).** 假设  $f$  是一个周期为  $2\pi$  的连续函数. 对某个  $\theta \in \mathbb{R}$ ，若存在  $\delta > 0, M < \infty$ ，使得对所有  $h \in (-\delta, \delta)$  均有  $|f(\theta + h) - f(\theta)| \leq M|h|$ ，则

$$\lim_{N \rightarrow \infty} S_N(f)(\theta) = f(\theta).$$

我们接下来介绍平方收敛意义下，Fourier 级数的收敛性质. 回忆广义 Fourier 级数与最佳平方逼近的关系，我们有如下结果：

**定理 1.3.** 如果  $f$  是周期为  $2\pi$  且在  $[0, 2\pi]$  上平方可积的函数，那么  $f$  的 Fourier 级数平方收敛到  $f$ . 也就是

$$\lim_{N \rightarrow \infty} \|f - S_N(f)\|_2 = 0.$$

进一步，我们还有

$$\sum_{n=-\infty}^{\infty} |\hat{f}(n)|^2 = \frac{1}{2\pi} \int_{-\pi}^{\pi} |f(\theta)|^2 d\theta.$$

## 2 Fourier 变换

### 2.1 从 Fourier 级数到 Fourier 变换

Fourier 级数处理的是周期函数，那么对于非周期函数呢？如果我们将非周期函数看成是周期为无穷的函数，这时候的 Fourier 级数就应该推广为 Fourier 变换。

回顾 Fourier 级数的定义，假设  $f$  是周期为  $T$  且在区间  $[0, T]$  上可积的函数，那么  $f$  的 Fourier 级数为

$$f(x) \sim \frac{1}{T} \sum_{n=-\infty}^{\infty} f_n e^{2\pi i n x / T},$$

此处，

$$f_n = \int_{-T/2}^{T/2} f(x) e^{-2\pi i n x / T} dx.$$

特别地，如果  $f$  是周期为  $2\pi k$  的可积函数，那么

$$f(x) \sim \frac{1}{2\pi k} \sum_{n=-\infty}^{\infty} f_n e^{i n x / k}, \quad f_n = \int_{-k\pi}^{k\pi} f(x) e^{-i n x / k} dx.$$

定义函数  $\hat{f}(w)$  如下：

$$\hat{f}(w) := \int_{-k\pi}^{k\pi} f(x) e^{-i w x} dx.$$

由于  $\hat{f}(n/k) = f_n$ ，那么  $f$  的 Fourier 级数可以写成

$$f(x) \sim \frac{1}{2\pi} \left( \frac{1}{k} \sum_{n=-\infty}^{\infty} \hat{f}(n/k) e^{i n x / k} \right).$$

令  $k \rightarrow \infty$ . 由定积分的定义可知

$$\lim_{k \rightarrow \infty} \frac{1}{k} \sum_{n=-\infty}^{\infty} \hat{f}(n/k) e^{i n x / k} = \int_{-\infty}^{\infty} \hat{f}(w) e^{i w x} dw.$$

因此，只要  $f \in L_1(\mathbb{R})$ ，就有

$$f(x) \sim \frac{1}{2\pi} \int_{-\infty}^{\infty} \hat{f}(w) e^{i w x} dw,$$

其中

$$\hat{f}(w) = \int_{-\infty}^{\infty} f(x) e^{-i w x} dx, \quad w \in \mathbb{R}. \quad (1)$$

我们称按 (1) 式所定义的  $\hat{f}(w)$  为函数  $f$  的 Fourier 变换。

## 2.2 Fourier 变换的性质

为了描述方便, 我们也用符号  $\mathcal{F}[f(x)](w)$  表示关于函数  $f$  的 Fourier 变换. 容易验证如下性质:

线性:  $\mathcal{F}[cf(x) + g(x)](w) = c\mathcal{F}[f(x)](w) + \mathcal{F}[g(x)](w)$ .

卷积:  $\mathcal{F}[f * g](w) = \widehat{f}(w)\widehat{g}(w)$ .

平移:  $\mathcal{F}[f(x - t)](w) = e^{-itw}\widehat{f}(w)$ .

缩放:  $\mathcal{F}[f(ax)](w) = \frac{1}{a}\widehat{f}(w/a)$ .

导函数: 如果  $\lim_{x \rightarrow \infty} f(x) = 0$ , 那么  $\mathcal{F}[f'(x)](w) = iw\widehat{f}(w)$ .

利用 Lebesgue 控制收敛定理, 我们也容易验证: 如果  $f \in L_1(\mathbb{R})$ , 那么  $\widehat{f}$  在  $\mathbb{R}$  上一致连续.

## 2.3 Fourier 变换的反演

到目前为止, 我们仅仅只知道 Fourier 变换的定义以及一些基本性质. 一个自然的问题是: 什么样的条件可以保证  $\widehat{f}(w)$  存在? 更重要的是, 我们想知道下面的表达式

$$f(x) = \frac{1}{2\pi} \int_{-\infty}^{\infty} \widehat{f}(w)e^{iwx} dw \quad (2)$$

是否成立? 此即 Fourier 变换的反演问题.

### 2.3.1 Fourier 变换的 $L_1$ 理论

关于  $\widehat{f}(w)$  的存在性问题, 由定义, 我们很容易知道

$$|\widehat{f}(w)| \leq \int_{-\infty}^{\infty} |f(x)e^{-iwx}| dx = \int_{-\infty}^{\infty} |f(x)| dx.$$

因此, 只要  $f(x) \in L_1(\mathbb{R})$ , 则  $\widehat{f}(w)$  存在. 但是,  $\widehat{f}(w)$  可能不属于  $L_1(\mathbb{R})$ , 从而导致等式 (2) 的右边积分不存在. 例如:

$$f(x) = \begin{cases} e^{-x}, & x \geq 0, \\ 0, & x < 0. \end{cases}$$

容易验证,  $f(x) \in L_1(\mathbb{R})$ , 但  $\widehat{f}(w) = \frac{1}{1+iw} \notin L_1(\mathbb{R})$ .

接下来, 我们介绍在什么条件下能从  $f$  的 Fourier 变换反演出  $f$ .

**定理 2.1.** 如果  $f, \widehat{f} \in L_1(\mathbb{R})$ , 那么

$$f(x) = \frac{1}{2\pi} \int_{-\infty}^{\infty} \widehat{f}(w)e^{iwx} dw, \quad a.e. \quad x \in \mathbb{R}.$$

这里, *a.e.* 表示几乎处处. 特别地, 上式在  $f$  的连续点处成立.

上述定理告诉我们, 如果  $f, \hat{f} \in L_1(\mathbb{R})$  且  $f$  连续, 那么等式 (2) 处处成立. 另外, 我们还能得到 Fourier 变换唯一性的结论:

**定理 2.2.** 如果  $f_1, f_2 \in L_1(\mathbb{R})$ , 且对所有的  $w \in \mathbb{R}$  均有  $\hat{f}_1(w) = \hat{f}_2(w)$ . 那么

$$f_1(x) = f_2(x), \quad \text{a.e. } x \in \mathbb{R}.$$

证明. 令  $f = f_1 - f_2$ . 那么  $\hat{f}(w) = \hat{f}_1(w) - \hat{f}_2(w) \equiv 0$ . 因此, 由定理 2.1,

$$f(x) = \frac{1}{2\pi} \int_{\mathbb{R}} \hat{f}(w) e^{iwx} dw, \quad \text{a.e. } x \in \mathbb{R}.$$

从而  $f_1(x) = f_2(x)$ , *a.e.*  $x \in \mathbb{R}$ .

□

### 2.3.2 Fourier 变换的 $L_2$ 理论

注意到, 有些  $L_2(\mathbb{R})$  的函数并不在  $L_1(\mathbb{R})$  内, 同时也有些  $L_1(\mathbb{R})$  的函数不在  $L_2(\mathbb{R})$  内. 可见,  $L_1(\mathbb{R})$  与  $L_2(\mathbb{R})$  不互相包含, 但也不互相排斥. 例如, 函数  $f(x) = e^{-x} \in L_1(\mathbb{R}) \cap L_2(\mathbb{R})$ . 事实上,  $L_1(\mathbb{R}) \cap L_2(\mathbb{R})$  在  $L_2(\mathbb{R})$  中是稠密的.

**定理 2.3.** 如果  $f \in L_1(\mathbb{R}) \cap L_2(\mathbb{R})$ , 那么  $\hat{f} \in L_2(\mathbb{R})$ , 且  $\|f\|_2 = \frac{1}{\sqrt{2\pi}} \|\hat{f}\|_2$ .

证明. 令  $g(x) = \overline{f(-x)}$ , 则  $\hat{g} = \overline{\hat{f}}$ . 记  $h(x) = f * g$ , 则有

$$\hat{h}(w) = \hat{f}(w)\hat{g}(w) = \hat{f}(w)\overline{\hat{f}(w)} = |\hat{f}(w)|^2 \geq 0.$$

另一方面, 由反演公式有

$$\|\hat{f}\|_2^2 = \int_{\mathbb{R}} |\hat{f}(w)|^2 dw = \int_{\mathbb{R}} \hat{h}(w) dw = \frac{1}{2\pi} h(0) = \frac{1}{2\pi} \int_{\mathbb{R}} f(x)g(-x) dx = \frac{1}{2\pi} \|f\|_2^2.$$

事实上, 上式的第三个等式还需严格的说明, 这里就不展开了.

□

利用如下的极化恒等式

$$\langle f, g \rangle = \frac{1}{4} \{ \|f + g\|_2^2 - \|f - g\|_2^2 + i\|f + ig\|_2^2 - i\|f - ig\|_2^2 \},$$

我们很容易得到如下定理:

**定理 2.4.** 如果  $f, g \in L_1(\mathbb{R}) \cap L_2(\mathbb{R})$ , 那么

$$\langle f(x), g(x) \rangle = \frac{1}{2\pi} \langle \hat{f}(w), \hat{g}(w) \rangle.$$

### 3 离散 Fourier 变换

由于连续函数无法在计算机上进行计算，因此我们通常需要对其进行离散采样。给定  $N$  个离散值  $\{x(0), x(1), \dots, x(N-1)\}$ ，我们定义其离散 Fourier 变换 (DFT) 为

$$\hat{x}(n) = \sum_{k=0}^{N-1} x(k)e^{-2\pi ink/N}, \quad n = 0, \dots, N-1.$$

相应的离散 Fourier 逆变换为

$$x(k) = \frac{1}{N} \sum_{n=0}^{N-1} \hat{x}(n)e^{2\pi ink/N}, \quad k = 0, \dots, N-1.$$

#### 3.1 快速 Fourier 变换

通过简单的观察可知，要想计算出所有的  $\hat{x}(0), \dots, \hat{x}(N-1)$ ，其计算复杂度为  $O(N^2)$ 。当  $N$  很大时，所需要的计算时间是相当长的。为此，Cooley 和 Tukey 提出了一个计算 DFT 的快速算法，其计算复杂度仅为  $O(N \log N)$ 。为了介绍该快速算法。我们引入记号

$$\omega_N := e^{-2\pi i/N}$$

以及多项式

$$X(\omega) = x(0) + x(1)\omega + \dots + x(N-1)\omega^{N-1}.$$

关于符号  $\omega_N$ ，通过定义我们很容易验证如下性质：

- (1) 对任意的整数  $n, k, d$  均有  $\omega_N^{dk} = \omega_N^k$ 。
- (2) 对任意的偶数  $n > 0$ ，有  $\omega_N^{2k} = \omega_{n/2}^k$ 。
- (3) 对任意的正整数  $n$  以及整数  $n \nmid k$ ，有  $\sum_{j=0}^{n-1} (\omega_N^k)^j = 0$ 。

利用上述记号，关于离散值  $\{x(0), x(1), \dots, x(N-1)\}$  的离散 Fourier 变换可以表示为

$$\hat{x}(n) = \sum_{k=0}^{N-1} x(k)\omega_N^{nk} = X(\omega_N^n), \quad n = 0, \dots, N-1.$$

换句话说，要得到所有的  $\hat{x}(0), \dots, \hat{x}(N-1)$ ，我们只需要计算多项式  $X(\omega)$  在点  $\omega_N^0, \omega_N^1, \dots, \omega_N^{N-1}$  处点值。

不失一般性，我们假设  $N$  为 2 的指数次方，也就是  $N = 2^m$ ，其中  $m$  为某个正整数。（不然，我们可以在离散数据后面添零）

快速 Fourier 变换的思想为：



(1) 由于  $X(\omega) = X_1(\omega^2) + \omega X_2(\omega^2)$ , 其中

$$\begin{cases} X_1(\omega) = x(0) + x(2)\omega + x(4)\omega^2 + \cdots + x(N-2)\omega^{N/2-1} \\ X_2(\omega) = x(1) + x(3)\omega + x(5)\omega^2 + \cdots + x(N-1)\omega^{N/2-1} \end{cases}$$

(2) 因此, 估计  $N-1$  次多项式  $X(\omega)$  在点  $\omega_N^0, \omega_N^1, \dots, \omega_N^{N-1}$  处点值转化为估计两个  $\frac{N}{2}-1$  次多项式  $X_1(\omega), X_2(\omega)$  在点  $(\omega_N^0)^2, (\omega_N^1)^2, \dots, (\omega_N^{N-1})^2$  处点值.

(3) 注意到, 对任意的偶数  $N > 0$ , 有  $(\omega_N^k)^2 = \omega_{N/2}^k$  以及  $(\omega_N^{N/2+k})^2 = \omega_{N/2}^k, k = 0, \dots, N/2-1$ . 因此, 这一过程可以下去递归.

我们可以得到如下快速 Fourier 变换的算法:

---

### Algorithm 1 Recursive-FFT( $x$ )

---

**Input:** A vector  $x = (x(0), x(1), \dots, x(N-1))$ .

- 1: **If**  $N = 1$  **then return**  $x$
- 2:  $\omega_N \leftarrow e^{-2\pi i/N}, \quad \omega \leftarrow 1.$
- 3:  $x_1 \leftarrow (x(0), x(2), \dots, x(N-2))$
- 4:  $x_2 \leftarrow (x(1), x(3), \dots, x(N-1))$
- 5:  $\hat{x}_1 \leftarrow \text{Recursive-FFT}(x_1)$
- 6:  $\hat{x}_2 \leftarrow \text{Recursive-FFT}(x_2)$
- 7: **for**  $n = 0$  **to**  $n = N/2 - 1$
- 8:     **do**  $\hat{x}(n) \leftarrow \hat{x}_1(n) + \omega \hat{x}_2(n)$
- 9:      $\hat{x}(n + N/2) \leftarrow \hat{x}_1(n) - \omega \hat{x}_2(n)$
- 10:      $\omega \leftarrow \omega \omega_N$

**Output:** Return  $\hat{x}$

---

利用分而治之的思想, 我们可以看出快速 Fourier 变换的时间复杂度为

$$T(N) = 2T(N/2) + O(n) = O(n \log n).$$

实习题: 编写快速 Fourier 变换的程序, 并作图比较 FFT 与按 DFT 定义直接求法的时间随规模  $N$  的变化图。